

СТАТИСТИЧЕСКАЯ МОДЕЛЬ ПЕРЕНОСА
ИНФРАКРАСНОГО ИЗЛУЧЕНИЯ
В МОЛЕКУЛЯРНОЙ СРЕДЕ

Б. М. Смирнов и Г. В. Шляпников

В рамках статистической теории найдена функция распределения по оптическим толщинам для слоя молекулярного газа. Проведено сравнение параметров переноса инфракрасного излучения в молекулярной среде, полученных на основе статистической модели, с точным при условиях, когда возможно точное решение задачи. На основе развитого подхода к статистической модели найдены параметры переноса инфракрасного излучения в слое молекулярного газа переменной температуры. Полученные результаты могут быть использованы для расчета потоков излучения в атмосферах планет.

Спектр поглощения молекулярного газа или смеси молекулярного газа в инфракрасной области состоит из большого числа линий, отвечающих определенным колебательно-вращательным или вращательным переходам молекул. При давлениях газа, не превышающих атмосферное давление, ширина спектральной линии отдельного перехода значительно меньше разности частот соседних переходов. В этом случае коэффициент поглощения молекулярной среды имеет осцилляционную структуру, причем его значения в центре соответствующего перехода и в промежутке между двумя соседними переходами могут сильно различаться. Это усложняет теорию переноса инфракрасного излучения в молекулярной среде, и для правильного понимания физической картины используются модельные представления коэффициента поглощения молекулярного газа.

Одним из способов описания переноса инфракрасного излучения в молекулярной среде в случае, когда коэффициент поглощения имеет сложный вид, основан на статистической модели полосы (под полосой обычно понимают совокупность большого числа спектральных линий). В статистической модели полосы задана средняя плотность отдельных линий в рассматриваемом частотном интервале, а также распределение интенсивностей в этих линиях. При этом полагается, что положение центров соответствующих линий в данном интервале частот носит случайный характер. Последнее обстоятельство позволяет относительно простым способом определить параметры переноса излучения через слой молекулярного газа. К таким параметрам относятся функция поглощения A — средняя вероятность поглощения фотона слоем газа — и поток излучения J , создаваемый этим слоем в данном интервале частот. На основании статистической модели в существующем виде [1, 2] эти характеристики определяются при постоянной температуре слоя. В данной работе развит иной подход к статистической модели полосы, что позволяет обобщить ее на случай слоя газа с переменной температурой. Кроме того, проведено сравнение результатов статистической модели с точными результатами в тех случаях, когда возможно точное решение задачи.

§ 1. Функция распределения по оптическим толщинам

Оптическая толщина слоя газа, параметры которого зависят только от его высоты, вводится на основе соотношения

$$u = \int_0^L k_\omega(z) dz, \quad (1)$$

где $k_\omega(z)$ — коэффициент поглощения на высоте z , L — высота всего слоя. Коэффициент поглощения на заданной частоте является суммой коэффициентов поглощения за счет отдельных переходов

$$k_\omega = \sum_i S_i a(\omega - \omega_i), \quad (2)$$

где S_i — интенсивность линии отдельного перехода, ω_i — центр линии этого перехода, а $a(\omega - \omega_i)$ — функция распределения фотонов, испускаемых в результате рассматриваемого перехода, по частотам. Эта функция нормирована условием $\int a(\omega - \omega_i) d\omega = 1$ и содержит наиболее резкую зависимость от частоты. В частности, для линейных молекул, когда излучение создается колебательно-вращательными переходами, индекс i отвечает вращательному квантовому числу и коэффициент поглощения имеет регулярную структуру. Центры спектральных линий переходов приходятся на частоты $\hbar\omega_j = \hbar\omega_0 \pm 2Bj$ ($\hbar\omega_0$ — энергия колебательного возбуждения, B — вращательная постоянная, j — наибольшее значение вращательного момента из двух, отвечающих состояниям, между которыми происходит данный переход). При медленном изменении интенсивности линий с частотой формула (2) для коэффициента поглощения принимает вид [3]

$$k_\omega = S(\omega) \sum_j a(\omega - \omega_j). \quad (3)$$

Формула для плавной функции $S(\omega)$, дающей зависимость интенсивности линий от частоты, приведена в [3]. При лорентцовой форме спектральной линии $a_\omega = \frac{\gamma}{2\pi} \frac{1}{[(\omega - \omega_j)^2 + (\gamma/2)^2]}$ (γ — ширина линии) теорема Миттага—Леффлера [4] позволяет произвести суммирование, которое дает для коэффициента поглощения

$$k_\omega = \frac{S(\omega)}{\delta} \frac{\operatorname{sh} \frac{\pi\gamma}{\delta}}{\operatorname{ch} \frac{\pi\gamma}{\delta} - \cos \frac{2\pi(\omega - \omega_0)}{\delta}}, \quad (4)$$

δ — расстояние между соседними линиями. Эта функция является квазипериодической с периодом δ , причем ее значения в соседних максимумах или минимумах близки в силу вида функции $S(\omega)$. Такое представление коэффициента поглощения является модификацией регулярной модели Эльзассера [5, 6], согласно которой спектр состоит из равнодistantных линий одинаковой интенсивности и формы. В рассматриваемых условиях, когда ширина линии $\gamma \ll \delta$, отношение коэффициентов поглощения в соседних максимуме и минимуме составляет $(2\delta/\pi\gamma)^2$, т. е. многое больше единицы.

Коэффициент поглощения газа линейных молекул введен нами как пример простейшего реального случая, когда возможно точное решение задачи. С этим случаем в дальнейшем мы будем сравнивать результаты статистической модели.

В рамках статистической модели введем функцию распределения $f(u)$ так, что величина $f(u)$ представляет собой вероятность того, что

оптическая толщина слоя в рассматриваемой области частот сосредоточена в интервале от u до $u+du$.¹ На основе выражения (2) для коэффициента поглощения, считая, что заданное положение i -го перехода носит случайный характер, определим искомую функцию $f(u)$. Для этого используем метод, разработанный в статистической теории уширения спектральных линий [9].

Введем характеристическую функцию

$$\chi(t) = \int_0^\infty e^{itu} f(u) du = \prod_i \int_0^\infty e^{itu_i} p(u_i) du_i = \prod_i \chi_i(t), \quad (5)$$

$\chi_i(t)$ — характеристическая функция оптической толщины u_i , создаваемой i -линией, $p(u_i) du_i$ — вероятность того, что u_i имеет значение в пределах от u_i до $u_i + du_i$. Здесь было использовано, что $f(u) = \int_0^\infty \dots \int_0^\infty p(u_i) \times \times \delta(u - \sum_i u_i) du_i$ (полная оптическая толщина слоя $u = \sum_i u_i$). Обращая формулу (5), получим для вероятности данного значения u

$$f(u) = \frac{1}{2\pi} \int_{-\infty}^{+\infty} \chi(t) e^{-itu} dt. \quad (6)$$

Рассмотрим большое число линий в интервале частот $\Delta\omega$. Вероятность того, что оптическая толщина слоя газа за счет i -й линии имеет величину от u_i до $u_i + du_i$, равна $d\omega_i/\Delta\omega$ ($d\omega_i$ — интервал частот, в котором оптическая толщина меняется от u_i до $u_i + du_i$). Отсюда находим характеристическую функцию величины u_i

$$\chi_i(t) = \frac{1}{\Delta\omega} \int e^{itu_i(\omega_i)} d\omega_i = 1 + \frac{1}{\Delta\omega} \int d\omega_i [e^{itu_i(\omega_i)} - 1].$$

Поскольку при $\Delta\omega \rightarrow \infty$ величина $\chi_i(t) \rightarrow 1$, то в этом предельном случае

$$\ln \chi_i(t) = \frac{1}{\Delta\omega} \int d\omega_i [e^{itu_i(\omega_i)} - 1],$$

отсюда $\ln \chi(t) = \sum_i \ln \chi_i(t) = \frac{\Delta\omega}{\delta} \ln \chi_i(t)$, где δ — среднее расстояние между линиями. При получении данного соотношения было использовано, что $\chi_i(t)$ одинакова для всех линий. На основе этого соотношения и формулы (6) получаем искомую функцию распределения

$$f(u) = \frac{1}{2\pi} \int_{-\infty}^{+\infty} \exp \left[-itu - \frac{1}{\delta} \int_{-\infty}^{+\infty} (1 - e^{itSLa_\omega}) d(\omega - \omega_0) \right] dt, \quad (7)$$

где $a_\omega \equiv a(\omega - \omega_0)$, а величина SLa_ω представляет собой оптическую толщину слоя u_i за счет отдельной линии (для простоты записи считается, что интенсивность и форма линии не зависят от точки пространства). Если

имеется некоторое распределение линий по интенсивностям $P(S) \left(\int_0^\infty P(S) \times \right.$

$\left. \times dS = 1 \right)$, то формула (7) преобразуется к виду

$$f(u) = \frac{1}{2\pi} \int_{-\infty}^{+\infty} \exp \left[-itu - \frac{1}{\delta} \int_0^\infty P(S) dS \int_{-\infty}^{+\infty} (1 - e^{itSLa_\omega}) d(\omega - \omega_0) \right] dt. \quad (8)$$

¹ Функция $f(u)$ была впервые введена и найдена в рамках регулярной модели в работах [7, 8]. Данная работа является дальнейшим развитием этого метода.

С помощью функции распределения $f(u)$ вычислим функцию поглощения A

$$A = \int_0^\infty (1 - e^{-u}) f(u) du. \quad (9)$$

Подставляя в это выражение формулу (8) и вычисляя интеграл по du , имеем

$$A = 1 - \frac{1}{2\pi} \int_{-\infty}^{+\infty} \frac{dt}{(1+it)} \exp \left[-\frac{1}{\delta} \int_0^\infty P(S) dS \int_{-\infty}^{+\infty} (1 - e^{itsLa_\omega}) d(\omega - \omega_0) \right].$$

Выражая интеграл по dt через вычет в полюсе $t=i$, получим для функции поглощения

$$A = 1 - \exp \left[-\frac{1}{\delta} \int_0^\infty P(S) dS \int_{-\infty}^{+\infty} (1 - e^{-SLa_\omega}) d(\omega - \omega_0) \right]. \quad (10)$$

Это выражение совпадает с результатами, получаемыми в рамках обычной статистической модели [1, 2].

§ 2. Сравнение результатов статистической модели с точным решением

В этом параграфе мы сравним результаты, которые дает статистическая модель полосы, с точным в случае, когда излучательная способность газа определяется полосой, соответствующей одному колебательному переходу линейной молекулы, с лорентцевским контуром спектральной линии. Коэффициент поглощения молекулярного газа в рассматриваемой ситуации определяется формулой (4) (регулярная модель). Функция распределения по оптическим толщинам может быть найдена отсюда с учетом того, что заданному расстоянию от центра соответствующего перехода отвечает определенная оптическая толщина слоя, а вероятность попадания в интервал частот от ω до $\omega+d\omega$ пропорциональна величине этого интервала [8]. Это дает для функции распределения по оптическим толщинам в пределах $\gamma/\delta \ll 1$, $\frac{2}{\pi} \int_0^L \frac{S(z)}{\gamma(z)} dz \gg 1$ (последнее условие означает, что оптическая толщина слоя в максимумах спектральных линий велика)

$$f(u) = \frac{1}{\pi u} \sqrt{\frac{\beta}{u - \beta}} \quad (11)$$

при $u \geq \beta$ и нуль при всех других значениях u . Параметр $\beta = \frac{\pi}{2\delta^2} \int_0^L S(z) \times \gamma(z) dz$ представляет в данном случае оптическую толщину слоя в минимумах. Формула (7) в этом случае дает

$$f(u) = \frac{1}{\pi} \int_0^\infty \cos \left(ut - \sqrt{\frac{2\beta t}{\pi}} \right) \exp \left(-\sqrt{\frac{2\beta t}{\pi}} \right) dt. \quad (12)$$

При $\beta \ll 1$ основной вклад в интеграл (9) вносят значения $u \gg \beta$. В этом пределе функции (11) и (12) совпадают и равны $\beta^{1/2}/\pi u^{3/2}$. Поэтому функции поглощения регулярной и статистической модели в данном предельном случае также совпадают.

Сравним результаты обоих подходов к расчету эффективной ширины полосы поглощения $\Delta\omega_{\text{погл.}} = \int_{-\infty}^{+\infty} A[\beta(\omega)] d(\omega - \omega_0)$ и интегрального по частотам потока излучения. С учетом того, что ширина области энергий фотонов, излучаемых слоем газа, значительно меньше его температуры, интегральный по частотам поток излучения изотермического плоского слоя равен

$$J = 2j_{\omega_0}(T) \int_{-\infty}^{+\infty} d(\omega - \omega_0) \int_0^1 \cos \theta A \left[\frac{\beta(\omega)}{\cos \theta} \right] d \cos \theta, \quad (13)$$

где

$$j_{\omega_0}(T) = \frac{\hbar \omega_0^3}{4\pi^2 c^2} \left[e^{\frac{\hbar \omega_0}{T}} - 1 \right]^{-1}$$

поток излучения в единичном интеграле частот от абсолютно черного тела температуры T [10]. Величину $\Delta\omega_{\text{исп.}} = 2 \int_{-\infty}^{+\infty} d(\omega - \omega_0) \int_0^1 \cos \theta A \left[\frac{\beta(\omega)}{\cos \theta} \right] \times$

$\times d \cos \theta$ будем называть эффективной шириной молекулярной полосы испускания. Заметим, что эффективная ширина полосы поглощения $\Delta\omega_{\text{погл.}}$ представляет собой полуширину полосы испускания под прямым углом к поверхности слоя.

Используем известные значения функций поглощения $A_{\text{пер.}} = \text{erf} \sqrt{\beta}$,

$A_{\text{стат.}} = 1 - e^2 \sqrt{\frac{\beta}{\pi}}$ и зависимость $\beta(\omega)$, определяемую формулой работы [3]. В предельном случае $\beta_m \ll 1$ (β_m — максимальное значение параметра β) результаты регулярной и статистической моделей совпадают

$$\left. \begin{aligned} \frac{\hbar \Delta\omega_{\text{погл.}}}{2 \sqrt{BT}} &= 4 \left(\frac{e}{\pi^2} \right)^{1/4} \Gamma \left(\frac{3}{4} \right) \sqrt{\beta_m} = 3.55 \sqrt{\beta_m}, \\ \frac{\hbar \Delta\omega_{\text{исп.}}}{2 \sqrt{BT}} &= \frac{16}{3} \left(\frac{e}{\pi^2} \right)^{1/4} \Gamma \left(\frac{3}{4} \right) \sqrt{\beta_m} = 4.73 \sqrt{\beta_m}, \end{aligned} \right\} \quad (14)$$

$\Gamma(3/4)$ — гамма-функция Эйлера. В другом предельном случае $\beta_m \gg 1$ статистическая модель дает

$$\left. \begin{aligned} \frac{\hbar \Delta\omega_{\text{погл.}}}{2 \sqrt{BT}} &= 2y_0, \quad \beta(y_0) = \frac{\pi}{4e^{20}} = 0.247, \\ \frac{\hbar \Delta\omega_{\text{исп.}}}{2 \sqrt{BT}} &= 2y_1, \quad \beta(y_1) = \frac{\pi}{4e^{20+1/2}} = 0.15, \end{aligned} \right\} \quad (15)$$

$C = 0.577$ — постоянная Эйлера. Это несколько отличается от результатов регулярной модели [3], согласно которой $\beta(y_0) = 0.141$, а $\beta(y_1) = 0.085$.

В таблице представлены численные значения ширины полосы испускания и поглощения в случае одного колебательного перехода, когда зависимость интенсивностей линий от частоты определяется соотношением, приведенным в [3]. Проведенное в данной таблице сравнение результатов статистической модели и регулярной, которая при данных условиях является точной, позволяет определить точность статистической модели при наличии одной полосы (одного колебательного перехода). В случае наложения полос нескольких переходов условия статистической модели выполняются лучше. Таким образом, на основании данных таблицы мы можем оценивать точность статистической модели в общем случае пере-

крывания полос, когда точное решение задачи весьма затруднительно.

Используем статистическую модель для нахождения ширины зоны поглощения и испускания в случае перекрывания нескольких полос с лорентцевской формой спектральной линии. Интегрируя в формуле (10) по частоте в отдельной линии для каждого из переходов и подставляя полученную функцию поглощения в формулу (12), имеем

$$\frac{\hbar \Delta \omega_{\text{исп.}}}{2 \sqrt{BT}} = \int dy. \quad (16)$$

Интеграл в (16) берется по области значений y , где выполняется соотношение

$$\sum_k \beta_k^{1/2} \geq \frac{\pi^{1/2}}{c + \frac{1}{4}} = 0.387, \quad (17)$$

β_k — параметры β для отдельной полосы. Формула (16) справедлива в том случае, если имеется область частот, где значения β_k велики.

При перекрывании нескольких полос используемая характеристика $\Delta \omega_{\text{исп.}}$ — эффективная ширина полосы испускания — может потерять практический смысл, поскольку была введена нами в случае, когда $\Delta \omega_{\text{исп.}} \ll \omega$ и $\hbar \Delta \omega_{\text{исп.}} \ll T$. Если имеет место перекрывание нескольких полос, то эти соотношения могут нарушаться. Тогда поток инфракрасного излучения, испускаемый слоем газа, равен

$$J = \int_{\Delta \omega} j_{\omega} d\omega. \quad (18)$$

Здесь j_{ω} — по-прежнему поток излучения (13) с поверхности абсолютно черного тела заданной температуры, а интеграл берется по области частот, где выполняется соотношение (17).

Полученные результаты оказываются справедливы и при нахождении ширины зоны поглощения с той разницей, что формулу (17) следует заменить формулой $\sum_k \beta_k^{1/2}(y) \geq 0.497$.

§ 3. Излучение плоского слоя газа переменной температуры

Введенная ранее функция распределения по оптическим толщинам слоя позволяет получить более полную информацию о переносе инфракрасного излучения в молекулярной среде. В частности, в данном параграфе в рамках статистической модели мы определим поток излучения плоского слоя пе-

| | β_m | | | | | | | | | | | | | | | | | |
|---|-----------|------|------|------|------|------|------|------|------|------|------|------|------|------|------|------|------|------|
| | 0.05 | 0.1 | 0.2 | 0.4 | 0.6 | 1 | 2 | 4 | 6 | 10 | 20 | 40 | 60 | 100 | 200 | 400 | 600 | 1000 |
| $\frac{\hbar \Delta \omega_{\text{исп.}}}{2 \sqrt{BT}}$ | 0.78 | 1.09 | 1.52 | 2.07 | 2.45 | 2.96 | 3.63 | 4.42 | 4.46 | 4.75 | 5.09 | 5.40 | 5.56 | 5.76 | 6.02 | 6.26 | 6.40 | 6.56 |
| | 0.72 | 0.99 | 1.33 | 1.75 | 2.04 | 2.45 | 3.01 | 3.60 | 3.92 | 4.29 | 4.73 | 5.09 | 5.28 | 5.50 | 5.77 | 6.03 | 6.18 | 6.35 |
| $\frac{\hbar \Delta \omega_{\text{исп.}}}{2 \sqrt{BT}}$ | 1.04 | 1.44 | 1.95 | 2.57 | 2.97 | 3.46 | 4.05 | 4.39 | 4.63 | 4.94 | 5.27 | 5.56 | 5.70 | 5.88 | 6.14 | 6.36 | 6.48 | 6.63 |
| | 0.93 | 1.25 | 1.65 | 2.13 | 2.43 | 2.85 | 3.43 | 3.86 | 4.15 | 4.47 | 4.87 | 5.23 | 5.42 | 5.65 | 5.95 | 6.20 | 6.35 | 6.51 |

ременной температуры. Решение этой задачи имеет практическое отношение к проблеме переноса излучения в атмосферах Земли и планет.

Будем считать, что температура медленно меняется по высоте слоя и в каждой точке поддерживается термодинамическое равновесие. В этом случае формула для потока излучения на данной частоте [11, 12]

$$J_{\omega} = 2 \int_0^{\infty} f(u) du \int_0^1 d \cos \theta \int_0^u j_{\omega}[T(z)] e^{-\frac{u'}{\cos \theta}} du'. \quad (19)$$

Здесь $u'(z)$ — оптическая толщина слоя от данной точки z до границы выхода излучения, u — оптическая толщина всего слоя.

Далее мы будем вычислять поток излучения (19), а также поток излучения под прямым углом к поверхности слоя. Идея вычисления этих потоков состоит в следующем. Излучение в основном испускается слоем некоторой толщины. При наших условиях в этой области температура слоя, а следовательно, и поток $j_{\omega}[T(z)]$ мало меняются. Поэтому, производя разложение по соответствующему малому параметру, мы сведем задачу к излучению плоского слоя постоянной температуре, соответствующей температуре слоя на некоторой высоте.

Вычислим искомые потоки излучения. Будем считать, что оптическая толщина меняется с высотой слоя по закону $u' = uF(z)$ и разложим плавную функцию $j_{\omega}[T(z)]$ по степеням $F(z)$ в окрестности некоторой высоты слоя z_1 с точностью до квадратичного члена. Оптимальную высоту слоя z_1 определим из условия равенства нулю интеграла от линейного члена разложения.

В том случае, когда ширина спектральной линии значительно меньше расстояния между соседними линиями, использование формулы (7) для функции распределения $f(a)$ дает (с учетом только нулевого члена разложения)

$$J_{\omega} = 2j_{\omega}[T(z_1)] \int_0^1 A\left(\frac{\beta}{\cos \theta}\right) \cos \theta d \cos \theta, \quad (20)$$

где функция поглощения $A(\beta) = 1 - \exp(-2\sqrt{\beta}/\pi)$, а высота слоя z_1 , на которой берется температура, входящая в выражение для J_{ω} , определяется формулами

$$\left. \begin{aligned} F(z_1(\beta)) &= \frac{1}{3} - \frac{1}{4} \sqrt{\frac{\beta}{\pi}}, \quad \beta \ll 1, \\ F(z_1(\beta)) &= \frac{\pi}{3\beta}, \quad \beta \gg 1. \end{aligned} \right\} \quad (21)$$

Используя аналогичным образом регулярную модель с функцией распределения $f(u) = (1/\pi u) \sqrt{\beta/(u-\beta)}$, получим

$$\left. \begin{aligned} F[z_1(\beta)] &= \frac{1}{3} - \frac{4}{15} \beta, \quad \beta \ll 1, \\ F[z_1(\beta)] &= \frac{1}{3\beta}, \quad \beta \gg 1. \end{aligned} \right\} \quad (22)$$

Поток излучения здесь также определяется формулой (20), но с функцией поглощения $A = \text{erf} \sqrt{\beta}$. Оценим вклад в интеграл (19) от квадратичного члена разложения. В реальной ситуации это позволит оценить точность выражения (20) для потока излучения. В случае статистической модели получим

$$J_{\omega} = \left\{ \begin{aligned} \frac{8}{3} \left(\frac{\beta}{\pi} \right)^{1/2} \left\{ j_{\omega} \left[T(z_1) + \frac{2}{45} \frac{d^2 j_{\omega}}{dF^2} \Big|_{z=z_1} \right] \right\}, \quad \beta \ll 1, \\ j_{\omega}[T(z_1)] + \frac{23\pi^2}{72\beta^2} \frac{d^2 j_{\omega}}{dF^2} \Big|_{z=z_1}, \quad \beta \gg 1, \end{aligned} \right. \quad (23)$$

а в случае регулярной модели

$$J_{\omega} = \begin{cases} \frac{8}{3} \left(\frac{\beta}{\pi} \right)^{1/2} \left\{ j_{\omega} [T(z_1)] + \frac{2}{45} \frac{d^2 j_{\omega}}{dF^2} \Big|_{z=z_1} \right\}, & \beta \ll 1, \\ j_{\omega} [T(z_1)] + \frac{19}{144\beta^2} \frac{d^2 j_{\omega}}{dF^2} \Big|_{z=z_1}, & \beta \geq 1. \end{cases} \quad (24)$$

При этом высота слоя z_1 , для которой берется температура, дается соответственно формулами (21) и (22).

В частности, для потока исходящего излучения атмосферы Земли, когда оптическая толщина оставшегося слоя экспоненциально падает с высотой ($F = e^{-z/L}$), имеем $\frac{d^2 j_{\omega}}{dF^2} = \frac{1}{F^2} \left(L \frac{d j_{\omega}}{dz} + L^2 \frac{d^2 j_{\omega}}{dz^2} \right)$, а зависимость j_{ω} от высоты слоя выражается через его зависимость от температуры. В этом случае при $\beta \geq 1$ формулы (23) и (24) преобразуются к виду: $J_{\omega} = j_{\omega} [T(z_1)] + \frac{23}{8} \left(L^2 \frac{d^2 j_{\omega}}{dz^2} + L \frac{d j_{\omega}}{dz} \right) \Big|_{z=z_1}$ для статистической модели и $J_{\omega} = j_{\omega} [T(z_1)] + \frac{19}{16} \left(L^2 \frac{d^2 j_{\omega}}{dz^2} + L \frac{d j_{\omega}}{dz} \right) \Big|_{z=z_1}$ для регулярной модели. При $\beta \ll 1$ обе модели дают

$$J_{\omega} = \frac{8}{3} \left(\frac{\beta}{\pi} \right)^{1/2} \left\{ j_{\omega} [T(z_1)] + \frac{2}{5} \left(L^2 \frac{d^2 j_{\omega}}{dz^2} + L \frac{d j_{\omega}}{dz} \right) \Big|_{z=z_1} \right\}.$$

Подробные результаты для потока излучения под прямым углом к поверхности слоя имеют вид: статистическая модель

$$\left. \begin{aligned} I_{\omega} &= 4 \left(\frac{\beta}{\pi} \right)^{1/2} \left\{ j_{\omega} [T(z_1)] + \frac{2}{45} \frac{d^2 j_{\omega}}{dF^2} \Big|_{z=z_1} \right\}, \quad F(z_1) = \frac{1}{3} - \frac{1}{6} \left(\frac{\beta}{\pi} \right)^{1/2}, \quad \beta \ll 1, \\ I_{\omega} &= 2j_{\omega} [T(z_1)] + \frac{5}{4} \frac{\pi^2}{\beta^2} \frac{d^2 j_{\omega}}{dF^2} \Big|_{z=z_1}, \quad F(z_1) = \frac{\pi}{2\beta}, \quad \beta \geq 1; \end{aligned} \right\} \quad (25)$$

регулярная модель

$$\left. \begin{aligned} I_{\omega} &= 4 \left(\frac{\beta}{\pi} \right)^{1/2} \left\{ j_{\omega} [T(z_1)] + \frac{2}{45} \frac{d^2 j_{\omega}}{dF^2} \Big|_{z=z_1} \right\}, \quad F(z_1) = \frac{1}{3} - \frac{4}{45} \beta, \quad \beta \ll 1, \\ I_{\omega} &= 2j_{\omega} [T(z_1)] + \frac{1}{2\beta^2} \frac{d^2 j_{\omega}}{dF^2} \Big|_{z=z_1}, \quad F(z_1) = \frac{1}{2\beta}, \quad \beta \geq 1. \end{aligned} \right\} \quad (26)$$

Интегральный по частотам поток излучения можно определить из соотношения $J = \int_0^{\infty} J_{\omega} d\omega$. Хотя все предыдущие соотношения (20)–(26)

были получены для одной полосы, в рамках статистической модели они справедливы и при перекрывании нескольких полос. В этом случае надо использовать параметр $\beta(\omega)$, просуммированный по всем полосам.

К определению интегрального по частотам потока излучения можно подойти по-другому, вычисляя оптимальную температуру для всей полосы. Искомый поток излучения равен потоку излучения изотермического слоя этой температуры. В случае одной полосы, проводя такое же разложение, как и ранее, и интегрируя в формуле (20) по частотам с учетом зависимости $\beta(\omega)$, характерной для линейных молекул [3], получим в рамках статистической модели для высоты слоя, которой соответствует оптимальная температура,

$$\left. \begin{aligned} F(z_1) &= \frac{1}{3} - \frac{e^{1/4}}{8\Gamma\left(\frac{3}{4}\right)} \left(\frac{23_m}{\pi} \right)^{1/2} = \frac{1}{3} - 0.104 \sqrt{\beta_m}, \quad \beta_m \ll 1, \\ F(z_1) &= \frac{1}{2y_1^2}, \quad \beta(y_1) = 0.15, \quad \beta_m \geq 1. \end{aligned} \right\} \quad (27)$$

Это не сильно отличается от результата регулярной модели

$$\left. \begin{aligned} F(z_1) &= \frac{1}{3} - \frac{8}{45} \frac{\Gamma\left(\frac{5}{4}\right)}{\Gamma\left(\frac{3}{4}\right)} \left(\frac{e^2}{3}\right)^{1/4} \beta_m = \frac{1}{3} - 0.164\beta_m, \quad \beta_m \ll 1, \\ F(z_1) &= \frac{1}{y_1^2} \left(1 - \frac{2}{3} C\right) = \frac{0.615}{y_1^2}, \quad \beta(y_1) = 0.085, \quad \beta_m \gg 1. \end{aligned} \right\} \quad (28)$$

Близость результатов статистической и регулярной моделей показывает, что и в случае слоя газа переменной температуры статистическая модель является хорошим приближением.

Следует отметить, что хотя расчеты, проведенные в §§ 2 и 3 относились к лорентзовскому контуру спектральной линии, их можно обобщить и на произвольный контур. Такое обобщение повлечет за собой лишь ряд трудностей математического характера.

§ 4. Инфракрасное излучение углекислого газа атмосферы Земли

В данном параграфе мы продемонстрируем возможность использования полученных результатов для реального случая — излучения углекислого газа в атмосфере Земли. Эта задача рассматривалась много-кратно [13–16] с использованием полуэмпирических методов и путем трудоемких машинных расчетов. При этом не могла быть получена за-

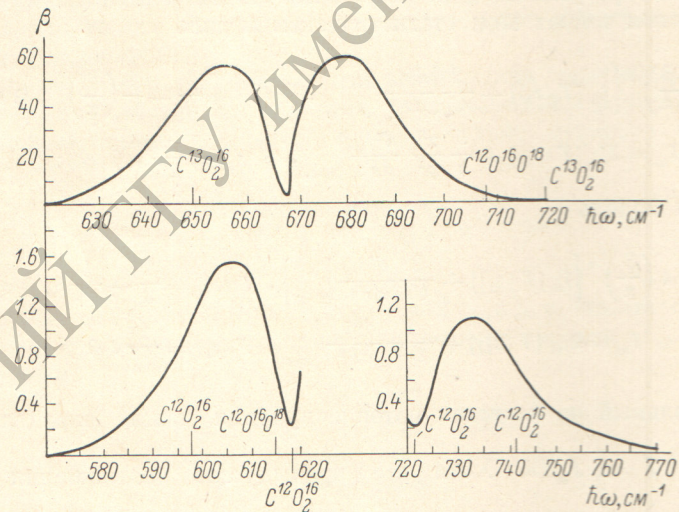


Рис. 1. Зависимость $\beta(\omega)$ для углекислого газа атмосферы Земли.

ω — частота излучения в см^{-1} , штрихами отмечены нулевые частоты основных колебательных переходов молекулы углекислого газа и ее изотопов.

вимость результата от характерных параметров задачи. Разработанные здесь методы позволяют это сделать и оценить точность расчета.

На рис. 1 представлена зависимость $\beta(\omega)$ в области инфракрасного спектра 570–770 см^{-1} . В этой области излучение связано с несколькими колебательными переходами молекулы CO_2 , параметры которых подробно исследованы [13, 17]. На рис. 2 приведена высота слоя, температуру которого следует подставлять в формулу для потока излучения, уходящего за пределы атмосферы на данной частоте. Существенной является точность, которую дает предлагаемый метод при расчете потоков излучения, создаваемых атмосферой Земли. Ошибки расчета связаны с пре-небрежением квадратичным и следующими членами разложения по

малому параметру, который определяется малым изменением температуры в слое. Эта ошибка может быть оценена по вкладу квадратичных членов в потоки излучения (23) и (25). Для потока излучения, создаваемого углекислым газом атмосферы и направленного на поверхность Земли, отношение вклада квадратичных членов к учитываемым здесь первым двум членам разложения дает $1.16/\beta^2$ в области частот, где оптическая толщина атмосферы велика. Максимальное значение β равно 60, градиент температуры у поверхности Земли для стандартной атмосферы [13] равен 6.5 град/км. Поскольку поток излучения определяется в основном

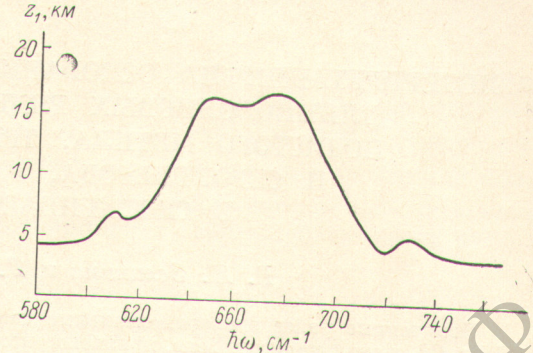


Рис. 2. Зависимость оптимальной высоты z_1 в атмосфере Земли (температура атмосферы на этой высоте входит в формулу (30) для потока исходящего инфракрасного излучения) от частоты ω .

частотами, для которых $\beta \gg 1$, ошибка метода невелика. Для интегрального по частотам потока излучения на поверхность Земли эта ошибка составляет 2%, для потока излучения под прямым углом — 7%. Погрешность в расчете интегрального по частотам потока излучения атмосферы, созданного углекислым газом и уходящего за пределы Земли, составляет 4%. Эта погрешность одинакова для полного потока и потока выходящего под прямым углом, ибо для стандартной атмосферы на высотах 12—20 км градиент температуры равен нулю, и погрешность метода определяется областью частот, где оптическая толщина атмосферы мала ($\beta(\omega) \ll 1$). Если бы на высотах 12—20 км имелся градиент температуры 1 град/км, то погрешность расчета полного потока излучения увеличилась бы до 10%, а потока излучения под прямым углом — до 30%.

Авторы благодарны Г. М. Шведу за ценные дискуссии.

Литература

- [1] R. M. G o o d y. Quart. J. Roy. Meteor. Soc., 78, 165, 1952.
- [2] G. N. P l a s s. J. Opt. Soc. Am., 48, 690, 1958.
- [3] Б. М. Смирнов, Г. В. Шляпников. ТВТ, 14, 26, 1976.
- [4] Э. Т. Уиттекер, Д. Н. Ватсон. Курс современного анализа. ФМ, М., 1963.
- [5] W. M. E l s a s s e r. Phys. Rev., 54, 126, 1938.
- [6] W. M. E l s a s s e r. Harvard Meteor. Studies, Harvard Univ. Press, 1942.
- [7] J. C. S t e w a r t, I. K u s c e r, N. J. M c C o r m i c k. Ann. Phys., 40, 321, 1966.
- [8] A. A r k i n g, K. G r o s s m a n. J. Atm. Sciences, 29, 937, 1972.
- [9] О. Б. Фирсов. ЖЭТФ, 21, 627, 1951.
- [10] Л. Д. Ландau, Е. М. Лифшиц. Статистическая физика. «Наука», М., 1964.
- [11] Я. Б. Зельдович, Ю. П. Райзер. Физика ударных волн и высокотемпературных гидродинамических явлений. «Наука», М., 1966.
- [12] Б. М. Смирнов. Физика слабоионизованного газа. «Наука», М., 1972.
- [13] Р. М. Гуди. Атмосферная радиация. «Мир», М., 1966.
- [14] G. Y a m a m o t o, T. S a s a m o g i. Sci. Rep. Tohoku Univ., ser. 5, Geophysics, 11, 149, 1959.
- [15] S. M a n a b e, R. M. W e t h e r a l d. J. Atm. Sci., 24, 241, 1967.
- [16] Л. Р. Ракипова, О. Н. Вишнякова. Метеорология и гидрология, № 5, 23, 1973.
- [17] S. R. D r y s o n, C. Y o u n g. Univ. of Michigan, College of Engineering Tech. Rep. 08183-1-T, November, 1967.

Поступило в Редакцию 8 октября 1975 г.